

# Il modello di Ising bidimensionale

## Soluzione esatta e simulazione Monte Carlo

Relatore: Prof. Marco Billò  
Candidato: Alessandro Tofani

Università di Torino  
Dipartimento di Fisica

Tesi di Laurea, 18 Luglio 2019

# Introduzione sul Modello

## Due approcci al modello

- 1 Soluzione combinatoria, calcolando la funzione di partizione del sistema;
- 2 Simulazione Monte Carlo, implementando l'algoritmo Metropolis.

## Punti chiave

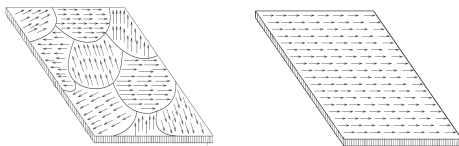
- 1 Spin:  $S_i = \pm 1$ ;
- 2 Elementi interagenti:  $H = -J \sum_{\langle ij \rangle} S_i S_j - h \sum_i S_i$ ;
- 3 Transizione di fase;

# Transizione di fase

## Transizione tra due fasi

- 1 Stato ordinato: i dipoli magnetici sono orientati nella stessa direzione;
- 2 Stato disordinato: si formano domini magnetici tali per cui la magnetizzazione totale risulta nulla.

La temperatura a cui avviene la transizione di fase è  $T_c$ , temperatura critica del sistema.



**Figura:** Immagine a sinistra: domini magnetici a temperature superiori alla temperatura critica. Immagine a destra: allineamento degli spin per temperature inferiori alla temperatura critica.

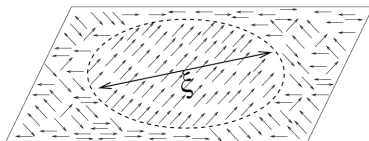
# Funzione di correlazione

## Funzione di correlazione a 2 punti degli spin

$$G_c^{(2)}(r) = \langle (\mathbf{S}_i - \mathbf{M})(\mathbf{S}_j - \mathbf{M}) \rangle = \langle \mathbf{S}_i \mathbf{S}_j \rangle - |\mathbf{M}|^2 \quad .$$

- Andamento asintotico del correlatore è  $G_c^{(2)}(r) \simeq e^{-\frac{r}{\xi}}$  per temperature diverse dalla temperatura critica;
- Alla temperatura critica si ha un andamento a potenza:

$$G_c^{(2)}(r) \simeq \frac{1}{r^{d-2+\eta}} \quad .$$



**Figura:** La dimensione dei domini magnetici è data dalla lunghezza di correlazione

## Andamenti a potenza delle osservabili

- $M = M_0(-t)^\beta$  con  $h \rightarrow 0$ ;
- $M(h, T_c) = M_0 h^{\frac{1}{\delta}}$ ;
- $\chi(0, T) = \begin{cases} \chi_+ t^{-\gamma}, & \text{se } T > T_c; \\ \chi_- (-t)^{-\gamma}, & \text{se } T < T_c; \end{cases}$
- $C(T) = \frac{\partial U}{\partial T} = \begin{cases} C_+ t^{-\alpha}, & \text{se } T > T_c; \\ C_- (-t)^{-\alpha}, & \text{se } T < T_c \end{cases} .$

- Valor medio dell'energia nell'ensemble canonico:

$$\langle E \rangle = \sum_i E_i \frac{e^{-\beta E_i}}{Z}$$

- $Z = \sum_i e^{-\beta E_i}$  funzione di partizione,  $i$  etichetta i microstati del sistema.
- Si somma sui livelli energetici, con degenerazione  $\Omega(E)$ :

$$\langle E \rangle = \sum_E E \Omega(E) \frac{e^{-\beta E}}{Z} = \sum_E E \frac{e^{-\beta E + \log \Omega(E)}}{Z} \quad .$$

$$\langle E \rangle = \sum_E E \frac{e^{-\beta E + \log \Omega(E)}}{Z} \quad .$$

## Competizione tra:

- 1 Minimizzazione dell'energia: il fattore  $-\beta E$  tende a far andare il sistema verso stati ad energia minima;
- 2 Massimizzazione dell'entropia: il fattore  $\log \Omega(E)$  tende a far andare il sistema verso stati più popolati, ovvero la cui degenerazione è più alta.

## Algoritmo Metropolis

- 1 Si sceglie la configurazione iniziale  $i$  e si passa alla configurazione  $j$  con probabilità  $p_{ij}^0$ ;
- 2 Si calcolano le energie  $E_i$  ed  $E_j$ ;
- 3 Se  $E_i \geq E_j$  cioè l'energia del sistema diminuisce, allora  $e^{-\beta(E_j-E_i)} > 1$  e  $a_{ij} = 1$ , cioè la transizione viene sempre accettata;
- 4 Se  $E_i < E_j$  cioè l'energia del sistema aumenta, la transizione non viene scartata, ma viene accettata con probabilità  $e^{-\beta(E_j-E_i)} = a_{ij}$ .
- 5 Si ripete dallo step 2;

La probabilità di accettare la transizione, nello step 4, è confrontata con una probabilità fornita da un generatore di numeri casuali, e se  $a_{ij} > \text{random}$  si accetta la transizione.



# Modello bidimensionale: soluzione combinatoria

- $v = \tanh \beta J$ ;
- $Z_N = 2^N (1 - v^2)^{-N} \Phi(v)$ ;
- $\Phi(v) = \sum_r g_r v^r$ , e  $g_r$  numero di grafi chiusi, fatti da  $r$  link.

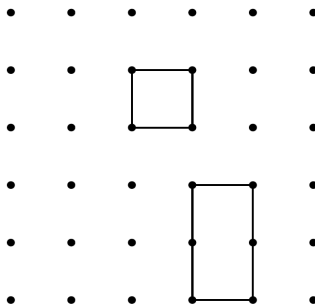


Figura: Esempio di termine di ordine  $v^{10}$

## Step della soluzione

- 1 Si riduce la somma sui poligoni a una somma su cammini chiusi senza intersezioni;
- 2 Si trasforma la somma su cammini chiusi senza intersezione in una somma su tutti i possibili cammini chiusi;
- 3 Si riduce la somma ad un problema di cammini aleatori su un reticolo.

## Soluzione combinatoria: step 1 e 2

- La somma su tutti i poligoni può essere organizzata in una somma sulle parti connesse dei grafi. Ogni grafo è pesato con un fattore  $(-1)^n$  con  $n$  è il numero totale di autointersezioni di un ciclo.
- $f_r$  è la somma su tutte le maglie solitarie composte da  $r$  link.
- La somma su tutte le coppie di maglie con un numero totale  $r$  di link, sarà data da:  $\frac{1}{2!} \sum_{r_1+r_2=r} f_{r_1} f_{r_2}$ .
- $\Phi$  comprende gli insiemi di maglie con una lunghezza qualsiasi:

$$\sum_{r_1, r_2, \dots=1}^{\infty} v^{r_1+r_2+\dots+r_s} f_{r_1} \dots f_{r_s} = \left( \sum_{r=1}^{\infty} v^r f_r \right)^s;$$
$$\Phi(v) = e^{[-\sum_{r=1}^{\infty} v^r f_r]}.$$

## Soluzione combinatoria: step 3

- Direzioni di spostamento  $\mu = 1, 2, 3, 4$ ;

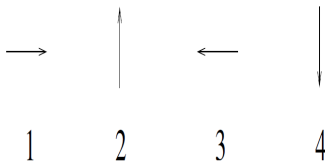


Figura: Direzioni di spostamento su reticolo quadrato

- $W_r(i, j, \mu)$  è la somma su tutte le transizioni di lunghezza  $r$  che partono lungo  $\mu_0$  da un nodo  $(i_0, j_0)$  e arrivano a  $(i, j)$  lungo  $\mu$ .
- $W_r(i_0, j_0, \mu_0)$  è la somma su tutte le maglie che partono da  $(i_0, j_0)$  lungo  $\mu_0$  e che vi ritornano.

$$f_r = \frac{1}{2r} \sum_{i_0, j_0, \mu} W_r(i_0, j_0, \mu);$$

### Equazione ricorsiva per $W_r$

$$W_{r+1}(i, j, \mu) = \sum_{i', j', \mu'} \Lambda(ij\mu|i'j'\mu') W_r(i', j', \mu');$$

- É l'equazione di un processo di Markov di un moto aleatorio su di un reticolo, con probabilità di transizione tra i siti primi vicini pari al corrispondente elemento di matrice di  $\Lambda$ .
- La probabilità di transizione di un cammino di lunghezza totale  $r$  è  $\Lambda^r$ .
- Le componenti diagonali di tale matrice sono le probabilità di tornare al punto iniziale dopo aver fatto un cammino chiuso di lunghezza  $r$ , cioè sono  $W_r(i_0, j_0, \mu_0)$ .

## Soluzione combinatoria: step 3

- Diagonalizzazione rispetto alle coordinate  $k$  e  $l$  del reticolo usando la trasformata di Fourier:  $W_r(p, q, \mu) = \sum_{k,l=0}^L e^{-\frac{2\pi i}{L}(pk+ql)} W_r(k, l, \mu)$ .

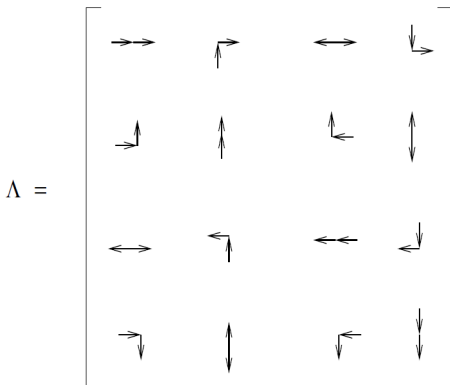


Figura: Elementi della matrice  $\Lambda$

## Soluzione combinatoria: step 3

- Calcolando gli autovalori di  $\Lambda$ :

### Funzione di partizione

$$Z_N = 2^N (1 - v^2)^{-N} \prod_{p,q}^L \left[ (1 + v^2) - 2v (1 - v^2) \left( \cos \frac{2\pi p}{L} + \cos \frac{2\pi q}{L} \right) \right]^{1/2}$$

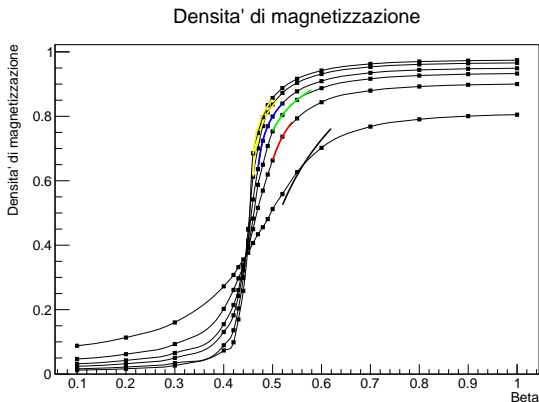
- L'energia libera del sistema è  $\frac{F(T)}{kT} = \log Z_N$ , e nel limite termodinamico,  $F$  ha un punto singolare per  $v_c$ :

### Temperatura critica $T_c$

$$\tanh \frac{J}{kT_c} = v_c, \quad kT_c = 2.26922 \dots J$$

# Simulazione Monte Carlo: Densità di magnetizzazione

- $L = \{10, 20, 30, 40, 60, 80\}$  lato del reticolo.



- Aumentando il lato la densità di magnetizzazione tende ad 1.

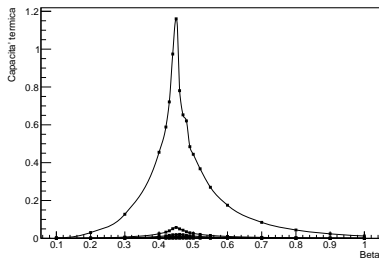


# Simulazione Monte Carlo: Densità di magnetizzazione

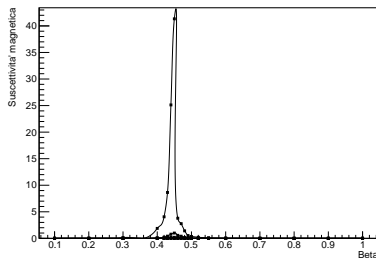
## Teorema di fluttuazione dissipazione

$$\chi(\beta) = \beta (\langle M^2 \rangle - \langle M \rangle^2);$$
$$C(\beta) = \frac{\partial U(\beta)}{\partial \beta} = \beta^2 (\langle E \rangle_\beta^2 - \langle E^2 \rangle_\beta) \quad .$$

Capacità termica

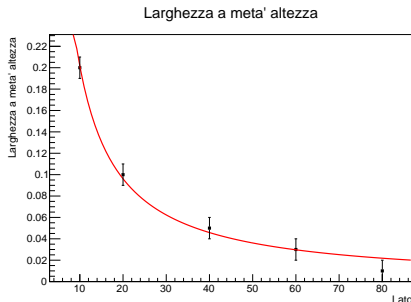


Suscettività magnetica



## Finite-size scaling: esponente critico $\nu$

- Misurando le varie larghezze a metà altezza della suscettività magnetica, si ricava il valore dell'esponente critico  $\nu$ :



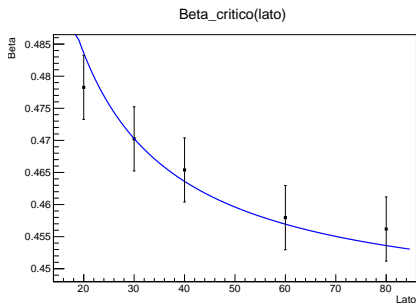
Risultati del fit,  $FWHM(L) = \frac{a}{L^\nu}$

$a = (2.4 \pm 0.6)$ ;  $\nu = (1.1 \pm 0.1)$ ;  $\nu_{teorico} = 1$

$p - value = 62\%$ ;  $\chi^2 = 1.75$  con 3 gradi di libertà.

# Finite-size scaling: $\beta_c$ del sistema

- $\beta_c$  in funzione del lato:  $\beta_c(L) = \beta_c + bL^{-\frac{1}{\nu}}$



## Risultati del fit

$$b = (0.8 \pm 0.1) \frac{1}{J}$$

$$\beta_c = (0.44 \pm 0.01) \frac{1}{J}; \quad \beta_{c,teorica} = 0.44 \frac{1}{J}$$

$p - value = 66\%$ ;  $\chi^2 = 1.58$  con 3 gradi di libertà.

## Finite-size scaling: Esponente critico $\beta$

- $\beta_{exp}$  dalla densità di magnetizzazione in funzione di  $\beta$ , con  $L = 40$ .

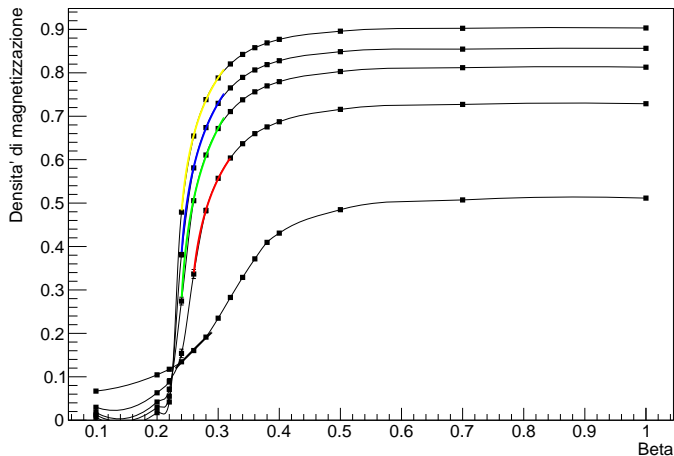
### Risultati del fit

$\beta_{exp} = (0.117 \pm 0.001)$  ;  $\beta_{exp,teorico} = 0.125$   
 $\chi^2 = 113$  con 3 gradi di libertà.

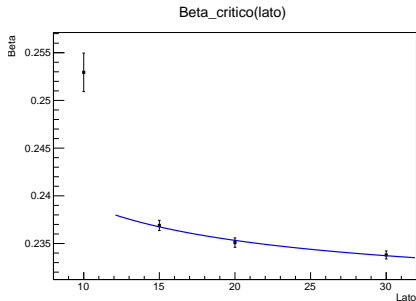
# Simulazione del modello in 3 dimensioni

- Lato  $L = \{5, 10, 15, 20, 30\}$  del reticolo cubico.

Densità di magnetizzazione



# Finite-size scaling: $\beta_c$ del sistema in 3 dimensioni



Risultati del fit,  $\beta_c(L) = \beta_c + bL^{-\frac{1}{\nu}}$ , con  $\nu = 0.63$

$$b = (0.05 \pm 0.01) \frac{1}{J}$$

$$\beta_c = (0.228 \pm 0.001) \frac{1}{J} \text{ con } \beta_{c,teorica} = 0.221 \frac{1}{J}$$

$$p\text{-value} = 56\%; \chi^2 = 0.34 \text{ con 1 grado di libert\`a.}$$

# Simulazione in NetLogo



# Bibliografia



István Montvay and Gernot Münster.

*Quantum fields on a lattice.*

Cambridge University Press, 1997.



Giuseppe Mussardo et al.

*Il modello di Ising: introduzione alla teoria dei campi e delle transizioni di fase.*

Bollati Boringhieri, 2007.



Giorgio Parisi.

A short introduction to numerical simulations of lattice gauge theories.

*Field Theory, Disorder And Simulations*, 49:407, 1992.



John Cardy.

*Scaling and renormalization in statistical physics*, volume 5.

Cambridge university press, 1996.